

66.9.12: 539.389.2 : 539.422 : 539.52

S 554

(222) 純鉄の硬化ならびに延性破壊過程に関する研究

70222

東大工学部

井形直弘

石川島播磨重工業技研

相戸佐智生

東大工学部

○佐東信司

1. 目的 これまでに純鉄の硬化過程、特に降伏過程、セル硬化過程の純度依存性、粒度依存性、歪速度依存性につき検討が行なわれて来たが、①何故セルが形成されるか、②何故 necking を生ずるかについて充分検討がなされておらず、又これに関する他の研究も少ない。本研究では、この2つの点に重点をあて、その機構を解明することを試みた。

2. 実験方法 用いた試験片は "Puron" (20 ppm C, 35 ppm Nを含む) であり、粒度は  $27\mu$  ~  $72\mu$ 、最終焼鈍処理は  $750^{\circ}\text{C}$  30分とした。試験片サイズは平行部  $0.4 \times 10 \times 50\text{mm}$  を5段に  $0.1 \times 8 \times 50\text{mm}$  のものを用いた。Instron型 100 kg 試験機にて歪速度  $10^{-1} \sim 10^{-3}$  にて引張を行ない、应力一歪線図に沿って種々の繰り返し除荷した後、電顕薄膜を作製した。又、電顕観察は TEM 150 にて行った。

3. 実験結果 からびに考察

3.1. セル形成過程について

純鉄におけるセル形成の臨界転位密度を表1に示す。粒度、歪速度、純度にかかわらず、ほぼ  $3 \sim 4 \times 10^9/\text{cm}^2$  の転位密度でセルが形成される。セルサイズを  $C$ 、セル壁の厚さを  $\delta C$ 、一様に分布している転位がセルを形成した場合のエネルギー変化  $\Delta W$  は次の式で示される。

$$\Delta W = \frac{1}{2} \rho \mu b^2 [ \log \rho^{-\frac{1}{2}} / b ] - \rho \beta (\frac{1}{2} \mu b^2) \log [ ( \frac{1}{6\delta} + \rho )^{-\frac{1}{2}} / b ]$$

ここで  $\beta$  は転位がセル壁に反応によりによって到達する場合転位障の長さが増すことから来る係数  $\beta = 0$  の關係により次式で得られる。 $\beta / 12\delta^2 = 1/2 \cdot \rho_c d\rho / d\delta (\beta - 1)$  at  $\rho = \rho_c$ 、もし  $\beta = 1.1$  ( $\beta < 1.1$ )  $\delta = 0.1$  とすれば  $\beta$  は  $3 \times 10^9/\text{cm}^2$  となり、これは表1で与えられるものと同一となる。また、セルサイズの差と並んで下がることもこの式から与えられる。

3.2. neckingの過程について 座力一歪線図においてセル硬化が進んだ段階で見掛け上の座力極大があり（いわゆる抗張力）ここで necking を生じ、necking による座力上昇から破壊に至る。この necking の機構は粒界の移動による変形がはじまる点であると考えられ、セル壁のエネルギーと有効粒界エネルギーとが一致した点で粒界の移動による変形が最も強く追跡された点で生ずるものと考えられる。これを模式的に示したもののが図1であり、写真1は座力極大点附近において necking 部に発生された粒界移動による変形を示す。

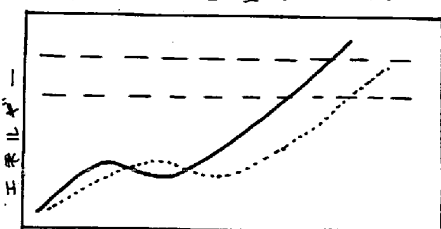


図1. エネルギー・歪曲模式図



写真1. 粒界移動の電顕写真

1 μ